

УДК 544.6.018.42-16

Ю.В. Погоренко^a, А.А. Нагорний^b, Р.М. Пшеничний^a, А.О. Омельчук^a

СИНТЕЗ ТА ЕЛЕКТРОПРОВІДНІСТЬ ТВЕРДИХ РОЗЧИНІВ $M_xPb_{1-x}SnF_{4-x}$ ($M=Li, Na, K, Rb$)

^a Інститут загальної та неорганічної хімії ім. В.І. Вернадського НАН України, м. Київ, Україна^b Національний технічний університет України «Київський політехнічний інститут імені Ігоря Сікорського», м. Київ, Україна^b Сумський державний університет, м. Суми, Україна

Встановлено, що в системі $xMF-(1-x)PbF_2-SnF_2$ ($M=Li, Na, K, Rb$) при $0 < x \leq 0,1$ утворюються тверді розчини гетеровалентного заміщення $M_xPb_{1-x}SnF_{4-x}$ ізоструктурні $PbSnF_4$. При заміщенні частини іонів Pb^{2+} іонами лужних металів (Li^+, K^+, Rb^+) провідність синтезованих зразків у високотемпературній області в загальному випадку зростає у порівнянні з $PbSnF_4$. Незначне заміщення (3,0 мол.%) іонів Pb^{2+} на M^+ (K, Rb, Li) практично не впливає на провідність одержаних зразків. При заміщенні більше 5 мол.% фторид-іонна провідність синтезованих зразків у високотемпературній ділянці (понад 450 К) вища за провідність вихідного фториду $PbSnF_4$, а при нижчих температурах – практично однаєва з нею. Найвищу провідність ($(7,72-9,32) \cdot 10^{-2}$ См/см) та найменшу енергію активації провідності (0,25–0,5 еВ) у високотемпературній ділянці мають зразки складу $K_{0,10}Pb_{0,90}SnF_{3,90}$, $Li_{0,07}Pb_{0,93}SnF_{3,93}$ та $Rb_{0,05}Pb_{0,95}SnF_{3,95}$. Провідність зразків з натрієм незалежно від кількості NaF є меншою в порівнянні з $PbSnF_4$, що пояснюється утворенням додаткової фази $NaSn_2F_5$. Характер залежності величин енергії активації від концентрації гетеровалентного замісника та її значення вказують на те, що провідність одержаних зразків забезпечують високорухливі міжвузлові аніони фтору.

Ключові слова: тверді фторидпровідні електроліти, гетеровалентне заміщення, нестехіометричні фториди, електропровідність.

DOI: 10.32434/0321-4095-2019-126-5-112-117

Вступ

Постійний розвиток ринку портативних електронних пристроїв різного призначення, а також гібридних двигунів та електромобілів обумовлює потребу в нових матеріалах, які можуть бути використані для створення джерел струму з більш високими питомими енергетичними характеристиками. Зокрема, поява твердотільних акумуляторів з високими експлуатаційними характеристиками [1,2] обумовила вивчення та пошук сполук, які можуть бути використані для створення нових електродних та електролітних матеріалів [3,4].

Особливої уваги заслуговують електролітні та електродні матеріали на основі фторидпровідних фаз [6,7]. Уже зараз синтезовано та досліджено низку фторидпровідних композицій, які використано для створення хімічних джерел

струму, що працюють в інтервалі температур 293–773 К, забезпечуючи при цьому задовільні питомі характеристики [3]. Так, в роботі [7] показано, що в гальванічних елементах на основі твердих фторид-іонних провідників можна досягти питомої енергоємності в 230 Вт·год/кг. Великою перевагою джерел струму такого типу у порівнянні з літій-іонними є їх висока пожежо- та вибухобезпечність.

Аналіз літератури [5,6,8–10] показує, що серед низки досліджених фторидпровідних фаз складні фториди на основі $PbSnF_4$ мають найвищу ($\sim 3 \cdot 10^{-3}$ См/см при 293 К) фторид-іонну провідність. Досить ретельно досліджено вплив на провідність $PbSnF_4$ заміщення частини катіонів плюмбуму тривалентними катіонами металів [11]. Так, зокрема, встановлено, що при заміщенні до 20 мол.% іонів Pb^{2+} іонами Ln^{3+} ($Ln=Y$,

La, Ce, Nd, Sm, Gd) у структурі $PbSnF_4$ електропровідність твердих розчинів, які при цьому утворюються, значно вища у порівнянні з вихідним $PbSnF_4$. Максимальну провідність мають зразки, що містять 10,0–15,0 мол.% LnF_3 [12,13]. Вплив заміщення іонів плюмбуму або стануму в структурі $PbSnF_4$ іонами одновалентних елементів досліджено недостатньо.

З огляду на зазначене, визначення впливу заміщення частини іонів Pb^{2+} у складному фториді $PbSnF_4$ іонами лужних металів (Li, Na, K, Rb) на провідність фторидпровідних фаз, що при цьому утворюється, її залежність від температури та складу, встановлення інтервалу існування твердих розчинів та їх структурних особливостей є актуальною теоретичною і прикладною задачею.

У даному повідомленні наведено результати досліджень провідності твердих електролітів на основі фторидів плюмбуму та стануму, одержаних шляхом заміщення частини іонів плюмбуму гетеровалентними катіонами лужних металів (літію, натрію, калію, рубідію) у складному фториді $PbSnF_4$. Таке заміщення за рахунок нееквівалентної кількості аніонів фтору при катіонах замісника та плюмбуму повинно сприяти утворенню дефектів в аніонній підгратці та суттєво змінювати провідність утворених фторидпровідних фаз, однак характер такого впливу на сьогоднішній день однозначно ще не було виявлено.

Експериментальна частина

Синтез полікристалічних зразків в системі $xMF-(1-x)PbF_2-SnF_2$ ($M=Li, Na, K, Rb$) при $x=0,03; 0,05; 0,07; 0,1$ виконували методом плавлення з вихідних попередньо висушених реактивів KHF_2 , LiF , NaF , RbF , PbF_2 і SnF_2 кваліфікації «х.ч.» в інтервалі температур 773–823 К в атмосфері аргону. Рентгенофазовий аналіз (РФА) одержаних зразків виконували на дифрактометрі ДРОН-3М з CuK_α -випромінюванням в інтервалі кутів від 10 до 80°. Для ідентифікації та оброблення дифрактограм використовували базу даних JCPD і комп’ютерні програми Match і UnitCell (The Collaborative Computational Projects (CCPs), <http://www.ccp14.ac.uk>).

Провідність одержаних зразків досліджували мостовим методом на частоті 70 кГц з використанням двоелектродної схеми. Для дослідження використовували спресовані полікристалічні зразки циліндричної форми діаметром 8 мм і товщиною 2,0–3,0 мм. Струмопідводами були гладкі поліровані платинові пластини. Вимірювання виконували в атмосфері аргону в інтер-

валі 298–623 К після терmostатування в режимі охолодження. Для нівелювання вкладу пористості досліджених зразків таблетки виготовляли в одних і тих же прес-формах з дрібнодисперсних фракцій з розміром часток не більше 60 мкм під тиском 150 атм.

Питому електропровідність розраховували за рівнянням $\sigma = l/s \cdot R$, де l – товщина циліндричного зразку, s – площа контакту, R – активний опір.

Результати та обговорення

Методом РФА встановлено, що при заміщенні частини іонів Pb^{2+} (до 10 мол.%) у структурі $PbSnF_4$ іонами Li^+ , K^+ і Rb^+ утворюються тверді розчини гетеровалентного заміщення, що ізоструктурні $PbSnF_4$ (рис. 1). При заміщенні катіонів плюмбуму катіонами калію та рубідію синтезовані зразки утворюють кристалічну решітку тетрагональної сингонії (пр. гр. $P42/n$) зі структурою $\beta\text{-}PbSnF_4$, а при заміщенні іонами літію на дифрактограмах реєструються рефлекси, що відповідають тетрагональній (β) і моноклінній (α) модифікації $PbSnF_4$ (рис. 2). При заміщенні іонів Pb^{2+} іонами Na^+ вже при малих кількостях x (до 3 мол.%) разом з фазою $PbSnF_4$ утворюється додаткова фаза $NaSn_2F_5$ (рис. 2).

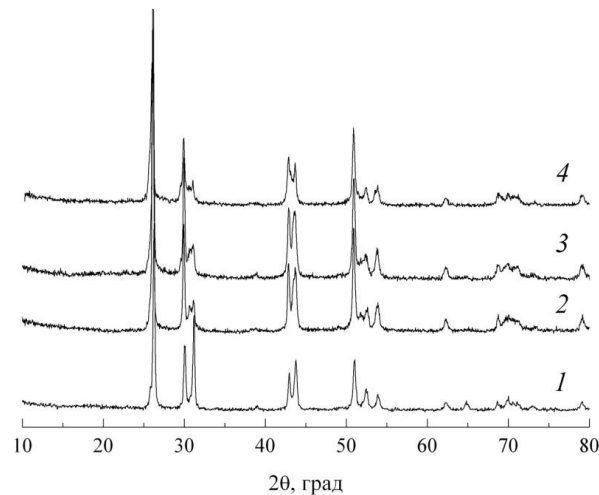


Рис. 1. Дифрактограми синтезованих зразків твердих розчинів $K_xPb_{1-x}SnF_{4-x}$ і вихідного $PbSnF_4$: 1 – $PbSnF_4$; 2 – $K_{0,03}PbSn_{0,97}F_{3,97}$; 3 – $K_{0,03}Pb_{0,97}SnF_{3,97}$; 4 – $K_{0,1}Pb_{0,9}SnF_{3,9}$

Заміщення невеликої кількості іонів Pb^{2+} іонами M^+ (K, Rb) сприяє зменшенню параметра а елементарної комірки (наприклад, від 5,969 до 5,9613 Å при заміщенні іонами калію). Подальше збільшення вмісту іонів M^+ у структурі

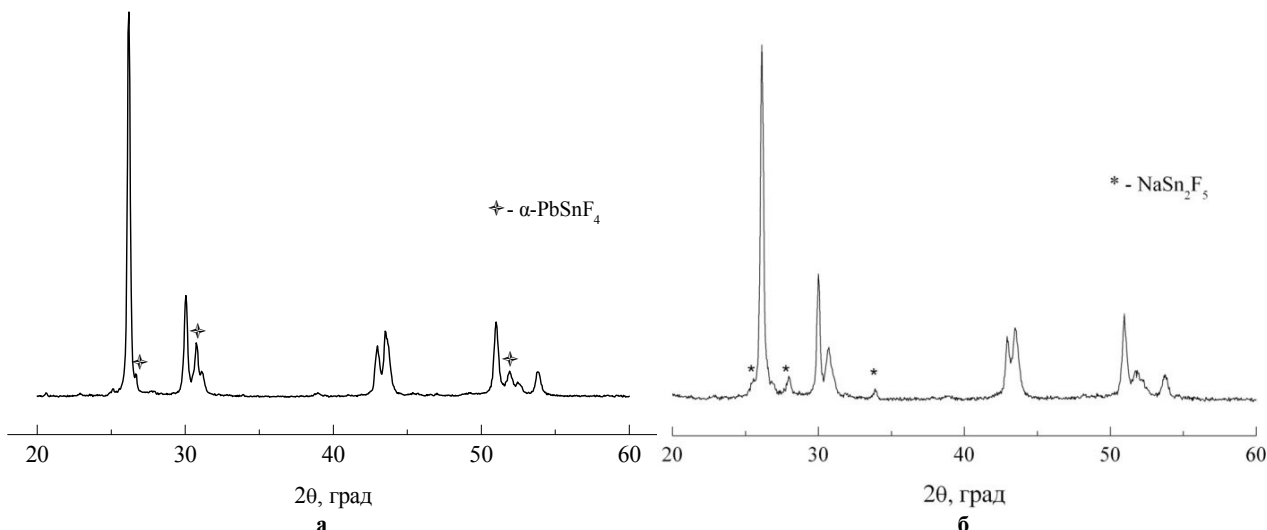


Рис. 2. Дифрактограми синтезованих зразків у системах: а – $x\text{LiF}-(1-x)\text{PbF}_2-\text{SnF}_2$; б – $x\text{NaF}-(1-x)\text{PbF}_2-\text{SnF}_2$
при $x=0,03$

виходного PbSnF_4 приводить до поступового збільшення параметра a та об'єму елементарної комірки, а значення параметра c при цьому зменшуються. Залежність розрахованих за результатами РФА параметрів елементарної комірки синтезованих зразків від концентрації гетеровалентного замісника узгоджується з правилом Вегарда (табл. 1, рис. 3).

Таблиця 1

Параметри комірок кристалічних решіток твердих розчинів $\text{K}_x\text{Pb}_{1-x}\text{SnF}_{4-x}$ і виходного PbSnF_4

Зразок	$a, \text{\AA}$	$V, \text{\AA}^3$
PbSnF_4	5,969	1834,89
$\text{K}_{0,03}\text{Pb}_{0,97}\text{SnF}_{3,97}$	5,9613	1837,06
$\text{K}_{0,05}\text{Pb}_{0,95}\text{SnF}_{3,95}$	5,966	1837,27
$\text{K}_{0,07}\text{Pb}_{0,93}\text{SnF}_{3,93}$	5,9671	1833,81
$\text{K}_{0,1}\text{Pb}_{0,9}\text{SnF}_{3,9}$	5,9675	1834,59

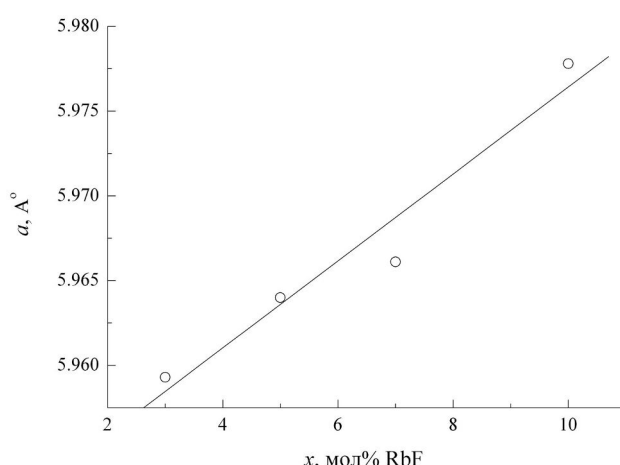


Рис. 3. Залежність параметра a кристалічної решітки твердих розчинів $\text{Rb}_x\text{Pb}_{1-x}\text{SnF}_{4-x}$ від вмісту RbF

На рис. 4 на прикладі твердого розчину $\text{K}_{0,05}\text{Pb}_{0,95}\text{SnF}_{3,95}$ при 293 К надана типова залежність провідності полікристалічних зразків $\text{M}_x\text{Pb}_{1-x}\text{SnF}_{4-x}$. При низьких температурах і високих частотах годограф імпедансу наданий деформованою дугою, а при низьких частотах трансформується в лінійну залежність. Такий характер залежності притаманний більшості твердих іонпровідних електролітів, зокрема, і для чистого PbSnF_4 [5].

Залежність провідності синтезованих сполук від температури задовільно апроксимується рівнянням Арреніуса-Френкеля, причому на залежності кожного зразка, в тому числі і виходного $\beta\text{-PbSnF}_4$, у температурному інтервалі 503–533 К реєструється злам (рис. 5–7), притаманний більшості твердих електролітів з флюори-

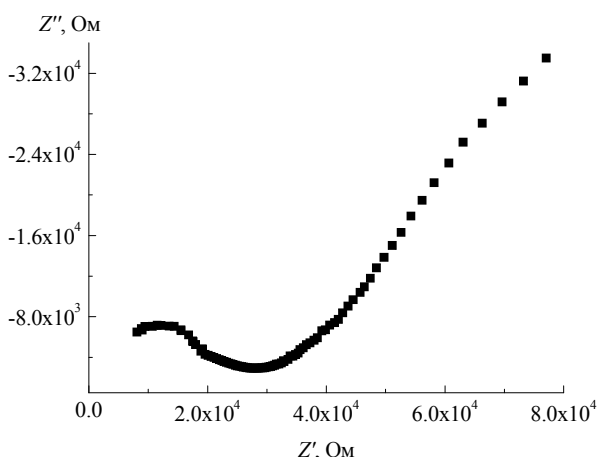


Рис. 4. Типова імпедансна діаграма твердих розчинів $\text{M}_x\text{Pb}_{1-x}\text{SnF}_{4-x}$ на прикладі твердого розчину $\text{K}_{0,05}\text{Pb}_{0,95}\text{SnF}_{3,95}$ при 293 К в координатах Найквіста

товою і антифлюритовою структурою.

Параметри електропровідності синтезованих зразків твердих розчинів $M_xPb_{1-x}SnF_{4-x}$ ($M=Li, K, Rb$) наведені в табл. 2.

Таблиця 2

Параметри електропровідності синтезованих зразків твердих розчинів

Зразок	ΔE_a , eВ	$lg(A)$, (См/см)·К	σ , См/см	T, К
β -PbSnF ₄	0,36	4,19	$9,02 \cdot 10^{-4}$	373
	0,2	2,27	$1,88 \cdot 10^{-2}$	573
$K_{0,03}Pb_{0,97}SnF_{3,97}$	0,23	5,65	$6,09 \cdot 10^{-4}$	373
	0,41	10,46	$1,67 \cdot 10^{-2}$	573
$K_{0,05}Pb_{0,95}SnF_{3,95}$	0,19	4,74	$7,35 \cdot 10^{-4}$	373
	0,38	10,01	$1,76 \cdot 10^{-2}$	573
$K_{0,07}Pb_{0,93}SnF_{3,93}$	0,26	5,29	$1,37 \cdot 10^{-4}$	373
	0,73	15,99	$5,32 \cdot 10^{-2}$	573
$K_{0,1}Pb_{0,9}SnF_{3,9}$	0,17	4,59	$1,3 \cdot 10^{-3}$	373
	0,76	19,31	$7,95 \cdot 10^{-2}$	573
$Li_{0,03}Pb_{0,97}SnF_{3,97}$	0,33	3,43	$2,73 \cdot 10^{-4}$	373
	1,02	10,95	$3,36 \cdot 10^{-3}$	473
	0,32	4,52	$7,88 \cdot 10^{-2}$	573
$Li_{0,05}Pb_{0,95}SnF_{3,95}$	0,28	5,29	$4,4 \cdot 10^{-4}$	373
	0,76	8,1	$2,66 \cdot 10^{-3}$	473
	0,43	3,03	$6,02 \cdot 10^{-2}$	573
$Li_{0,07}Pb_{0,93}SnF_{3,93}$	0,29	2,77	$5,28 \cdot 10^{-4}$	373
	0,78	8,74	$5,86 \cdot 10^{-3}$	473
	0,25	4,23	$9,32 \cdot 10^{-2}$	573
$Rb_{0,03}Pb_{0,97}SnF_{3,97}$	0,15	1,67	$1,2 \cdot 10^{-3}$	373
	0,86	8,96	$4,7 \cdot 10^{-2}$	573
$Rb_{0,05}Pb_{0,95}SnF_{3,95}$	0,22	2,61	$1,12 \cdot 10^{-3}$	373
	0,86	9,27	$7,72 \cdot 10^{-2}$	573
$Rb_{0,07}Pb_{0,93}SnF_{3,93}$	0,23	2,62	$8,49 \cdot 10^{-4}$	373
	0,76	8,1	$4,7 \cdot 10^{-2}$	573
$Rb_{0,1}Pb_{0,9}SnF_{3,9}$	0,23	2,74	$4,08 \cdot 10^{-4}$	373
	0,77	8,19	$5,09 \cdot 10^{-2}$	573

Незначне заміщення (3,0 мол.%) іонів Pb^{2+} на M^+ (K, Rb, Li) практично не впливає на провідність одержаних зразків. При заміщенні більше 5 мол.% фторид-іонна провідність синтезованих зразків у високотемпературній ділянці (понад 450 К) вища за провідність вихідного фториду PbSnF₄, а при нижчих температурах – практично однакова з нею.

На температурних залежностях електропровідності твердих розчинів $Li_xPb_{1-x}SnF_{4-x}$ реєструється два злами при температурі ~550 К та ~470 К. Синтезовані зразки твердих розчинів $Li_xPb_{1-x}SnF_{4-x}$ у всьому концентраційному інтервалі існування при температурах вищих за 470 К мають вищу провідність, ніж вихідний фторид PbSnF₄. При нижчих температурах вона на-

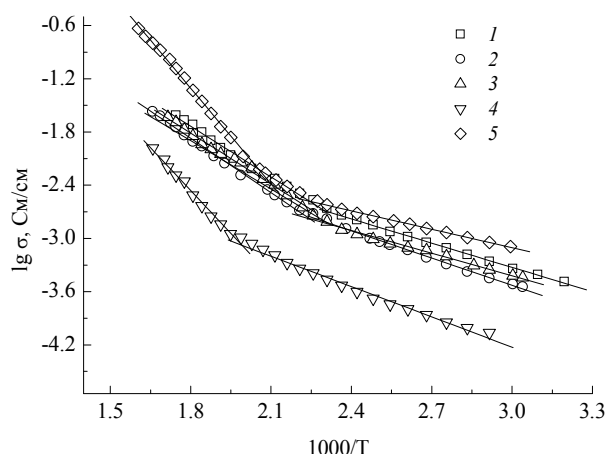


Рис. 5. Температурні залежності питомої провідності полікристалічних зразків твердих розчинів $K_xPb_{1-x}SnF_{4-x}$:
1 – PbSnF₄; 2 – $K_{0,03}Pb_{0,97}SnF_{3,97}$; 3 – $K_{0,05}Pb_{0,95}SnF_{3,95}$;
4 – $K_{0,07}Pb_{0,93}SnF_{3,93}$; 5 – $K_{0,1}Pb_{0,9}SnF_{3,9}$

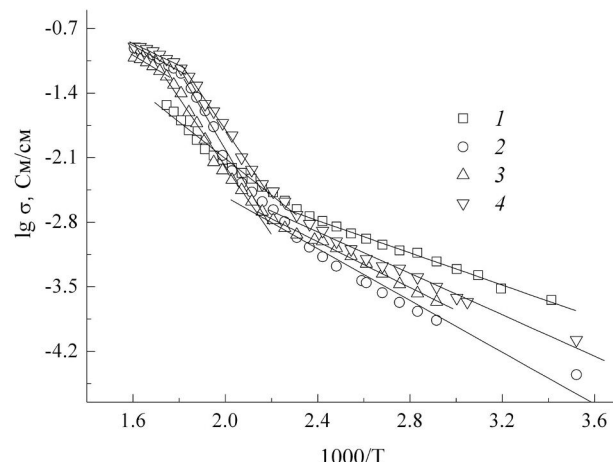


Рис. 6. Температурні залежності питомої провідності полікристалічних зразків твердих розчинів $Li_xPb_{1-x}SnF_{4-x}$:
1 – PbSnF₄; 2 – $Li_{0,03}Pb_{0,97}SnF_{3,97}$; 3 – $Li_{0,05}Pb_{0,95}SnF_{3,95}$;
4 – $Li_{0,07}Pb_{0,93}SnF_{3,93}$

рядок величини менша. При цьому найвища провідність ($\sigma_{573}=9,32 \cdot 10^{-2}$ См/см, $E_a=0,25$ еВ) має зразок складу $Li_{0,07}Pb_{0,93}SnF_{3,93}$.

При введенні іонів калію в структуру PbSnF₄ енергія активації іонної провідності у високотемпературній ділянці зростає, а в низькотемпературній – зменшується у порівнянні з вихідним PbSnF₄. Найбільшу провідність і найменшу енергію активації провідності в високотемпературній області має зразок $K_{0,1}Pb_{0,9}SnF_{3,9}$ ($\sigma_{573}=7,95 \cdot 10^{-2}$ См/см, $E_a=0,76$ еВ).

Заміщення частини іонів плюмбууму іонами натрію сприяє утворенню додаткової фази $NaSn_2F_5$, що незалежно від кількості введеного

фториду натрію при температурах, нижчих за 540 К обумовлює зменшення електропровідності на порядок величини у порівнянні з вихідним PbSnF_4 . Провідність синтезованих зразків $\text{Na}_x\text{Pb}_{1-x}\text{SnF}_{4-x}$ при більш високих температурах в межах похибки вимірювання співпадає з провідністю тетрафлуорстанату плюмбуму.

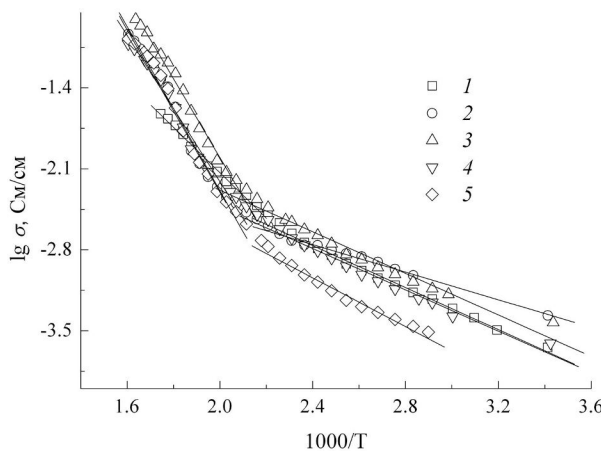


Рис. 7. Температурні залежності питомої провідності полікристалічних зразків твердих розчинів $\text{Rb}_x\text{Pb}_{1-x}\text{SnF}_{4-x}$:
1 – PbSnF_4 ; 2 – $\text{Rb}_{0.03}\text{Pb}_{0.97}\text{SnF}_{3.97}$; 3 – $\text{Rb}_{0.05}\text{Pb}_{0.95}\text{SnF}_{3.95}$;
4 – $\text{Rb}_{0.07}\text{Pb}_{0.93}\text{SnF}_{3.93}$; 5 – $\text{Rb}_{0.1}\text{Pb}_{0.9}\text{SnF}_{3.9}$

Провідність синтезованих зразків твердих розчинів $\text{Rb}_x\text{Pb}_{1-x}\text{SnF}_{4-x}$ ($0,03 < x < 0,07$) при температурах вищих за 470 К мають вищу провідність у порівнянні з PbSnF_4 , а нижче цієї температури вона сумірна з нею. При вмісті замісника RbF більшому за 8 мол. % у твердому розчині $\text{Rb}_x\text{Pb}_{1-x}\text{SnF}_{4-x}$ його провідність при температурах нижчих за 450 К зменшується майже в 10 разів у порівнянні з PbSnF_4 . Найвища електропровідність має зразок $\text{Rb}_{0.05}\text{Pb}_{0.95}\text{SnF}_{3.95}$ ($\sigma_{600}=0,1 \text{ См}/\text{см}, E_a=0,86 \text{ еВ}$).

Також вибірково здійснювали повторне дослідження провідності синтезованих зразків твердих електролітів без перепресування сформованих дисків та з перепресуванням. Результати показали відтворюваність значень питомої електропровідності з похибкою на рівні 3–5%.

Висновки

При заміщенні частини іонів Плюмбуму іонами Li^+ , Na^+ , K^+ та Rb^+ у складному фториді PbSnF_4 утворюються тверді розчини гетеровалентного заміщення $\text{M}_x\text{Pb}_{1-x}\text{SnF}_{4-x}$, де x знаходиться в інтервалі $0 < x \leq 0,1$. Тверді розчини $\text{M}_x\text{Pb}_{1-x}\text{SnF}_{4-x}$ ($\text{M} = \text{K}, \text{Rb}$) утворюють кристалічну решітку тетрагональної сингонії зі структурою

рою $\beta\text{-PbSnF}_4$, а фази, що містять іони літію, утворюють одночасно дві модифікації – тетрагональну (β) і моноклінну (α) модифікації PbSnF_4 .

Найвищу провідність та найменшу енергію активації провідності у високотемпературній ділянці мають зразки складу $\text{K}_{0.10}\text{Pb}_{0.90}\text{SnF}_{3.90}$, $\text{Li}_{0.07}\text{Pb}_{0.93}\text{SnF}_{3.93}$ та $\text{Rb}_{0.05}\text{Pb}_{0.95}\text{SnF}_{3.95}$ ($(7,72-9,32) \cdot 10^{-2} \text{ См}/\text{см}$). Провідність зразків з Натрієм незалежно від кількості NaF є меншою в порівнянні з PbSnF_4 , що пояснюється утворенням додаткової фази NaSn_2F_5 .

СПИСОК ЛІТЕРАТУРИ

1. Fluoride ion batteries: theoretical performance, safety, toxicity, and a combinatorial screening of new electrodes / Gschwinda F., Rodriguez-Garcia G., Sandbeck D.J.S., Gross A., Weil M., Fichtner M., Hormann N. // J. Fluorine Chem. – 2016. – Vol.182. – P.76-90.
2. Zhang L., Reddy M.A., Fichtner M. Development of tysonite-type fluoride conducting thin film electrolytes for fluoride ion batteries // Solid State Ionics. – 2015. – Vol.272. – P.39-44.
3. Nakajima T., Groult H. Advanced fluoride-based materials for energy conversion. – Elsevier, 2015. - 439 p.
4. Nanostructured fluorite-type fluorides as electrolytes for fluoride ion batteries / Rongeat C., Reddy M.A., Witter R., Fichter M. // J. Phys. Chem. C. – 2013. – Vol.117. – P.4943-4950.
5. Сорокин Н.И., Соболев Б.П. Нестехиометрические фториды – твердые электролиты для электрохимических устройств: обзор // Кристаллография. – 2007. – Т.52. – № 5. – С.870-892.
6. Patro L.N., Hariharan K. Fast fluoride ion conducting materials in solid state ionics: an overview // Solid State Ionics. – 2013. – Vol.239. – P.41-49.
7. Потанин А.А. Твердотельный химический источник тока на основе ионного проводника типа трифторида лантана // Рос. хим. журнал. – 2001. – Т.45, № 5-6. – С.58-63.
8. Трновцова В., Федоров П.П., Фурар И. Фторидные твердые электролиты // Электрохимия. – 2009. – Т.45. – № 6. – С.668-678.
9. Сорокин Н.И. Твердые электролиты на основе SnF_2 // Неорг. материалы. – 2004. – Т.40. – № 9. – С.1128-1136.
10. Сорокин Н.И. Суперионные материалы на основе дифторида свинца // Неорг. материалы. – 1997. – Т.33. – № 1. – С.5-16.
11. Kanno R., Nakamura S., Kawamoto Y. Ionic conductivity of tetragonal PbSnF_4 substituted by aliovalent cations Zr^{4+} , Al^{3+} , Ga^{3+} , In^{3+} and Na^+ // Solid State Ionics. – 1992. – Vol.51. – P.53.
12. Электропроводность твердых растворов гетеровалентного замещения системи $(1-x)\text{PbF}_2-x\text{YF}_3-\text{SnF}_2$ / Пол-

горенко Ю.В., Пшеничный Р.Н., Омельчук А.А., Трачевский В.В. // Электрохимия. – 2016. – Т.52. – № 4. – С.427-437.

13. Синтез та провідні властивості твердих розчинів $Pb_{1-x}Ln_xSnF_{4+x}$ ($Ln = La, Ce, Nd, Sm, Gd$) / Погоренко Ю.В., Пшеничний Р.М., Омельчук А.О., Трачевский В.В. // Укр. хім. журнал. – 2016. – Т.82. – № 11. – С.33-43.

Надійшла до редакції 27.02.2019

SYNTHESIS AND CONDUCTIVITY OF SOLID SOLUTIONS $M_xPb_{1-x}SnF_{4-x}$ ($M=Li, Na, K, Rb$)

Yu.V. Pohorenko^{a,}, A.A. Nahorny^b, R.M. Pshenichnyi^c, A.O. Omel'chuk^a*

^a V.I. Vernadsky Institute of General and Inorganic Chemistry of the NAS of Ukraine, Kyiv, Ukraine

^b National Technical University of Ukraine «Igor Sikorsky Kyiv Polytechnic Institute», Kyiv, Ukraine

^c Sumy State University, Sumy, Ukraine

* e-mail: pogorenkoyulija@gmail.com

It has been found that the solid solutions of heterovalent substitution, $M_xPb_{1-x}SnF_{4-x}$ ($0 < x \leq 0.1$), are formed in the system $xMF-(1-x)PbF_2-SnF_2$ (where $M = Li, Na, K, Rb$) that have a structure of $\beta-PbSnF_4$. The conductivity of the synthesized samples in the high-temperature range generally increases as compared with $PbSnF_4$ if a part of the Pb^{2+} ions is replaced by ions of alkali metal (Li^+, K^+ and Rb^+). An insignificant substitution (3.0 mol%) of Pb^{2+} ions by M^+ ions (K^+, Rb^+ and Li^+) practically has no effect on the conductivity of the obtained samples. When more than 5 mol.% of ions are replaced, the fluoride-ion conductivity of the synthesized samples in the high-temperature range (above 450 K) is higher than the conductivity of the initial fluoride $PbSnF_4$, whereas the conductivities are practically the same at lower temperatures. The samples $K_{0.10}Pb_{0.90}SnF_{3.90}$, $Li_{0.07}Pb_{0.93}SnF_{3.93}$ and $Rb_{0.05}Pb_{0.95}SnF_{3.95}$ show the highest conductivity ($(7.72-9.32) \cdot 10^{-2} S/cm$) and the least activation energy of conductivity (0.25–0.5 eV) in the high-temperature range. The conductivity of the samples with sodium, regardless of the amount of NaF , is lower than that of $PbSnF_4$ which is explained by the formation of an additional phase $NaSn_2F_5$. The nature of the dependence of the activation energy on the concentration of a heterovalent substituent and its value indicate that the conductivity of the obtained samples is provided by highly mobile interstitial anions of fluorine.

Keywords: solid fluoride-conducting electrolytes; heterovalent substitution; non-stoichiometric fluorides; electrical conductivity.

REFERENCES

- Gschwind F., Rodriguez-Garcia G., Sandbeck D.J.S., Gross A., Weil M., Fichtner M., Hormann N. Fluoride ion batteries: theoretical performance, safety, toxicity, and a combinatorial screening of new electrodes. *Journal of Fluorine Chemistry*, 2016, vol. 182, pp. 76-90.
- Zhang L., Reddy M.A., Fichtner M. Development of tysonite-type fluoride conducting thin film electrolytes for fluoride ion batteries. *Solid State Ionics*, 2015, vol. 272, pp. 39-44.
- Nakajima T., Grout H., *Advanced fluoride-based materials for energy conversion*. Elsevier, 2015. 439 p.
- Rongeat C., Reddy M.A., Witter R., Fichter M. Nanostructured fluorite-type fluorides as electrolytes for fluoride ion batteries. *The Journal of Physical Chemistry C*, 2013, vol. 117, pp. 4943-4950.
- Sorokin N.I., Sobolev B.P. Nestekhiometricheskiye fториды – твердые электролиты для электрохимических устройств: обзор [Nonstoichiometric fluorides: solid electrolytes for electrochemical devices – a review]. *Kristallografiya*, 2007, vol. 52, no. 5, pp. 870-892. (in Russian).
- Patro L.N., Hariharan K. Fast fluoride ion conducting materials in solid state ionics: an overview. *Solid State Ionics*, 2013, vol. 239, pp. 41-49.
- Potanin A.A. Tverdotel'nyi khimicheskii istochnik toka na osnove ionnogo provodnika tipa triforida lantana [Solid-state chemical current source based on an ionic conductor lanthanum trifluoride]. *Rossiiskii Khimicheskii Zhurnal*, 2001, vol. 45, no. 5-6, pp. 58-63. (in Russian).
- Trnovcova V., Fedorov P.P., Furar I. Fluoride solid electrolytes. *Russian Journal of Electrochemistry*, 2009, vol. 45, pp. 630-639.
- Sorokin N.I. SnF_2 -based solid electrolytes. *Inorganic Materials*, 2004, vol. 40, pp. 989-997.
- Sorokin N.I. Superionnyye materialy na osnove diforida svintsa [Super-ionic materials based on lead difluoride]. *Neorganicheskie Materialy*, 1997, vol. 33, no. 1, pp. 5-16. (in Russian).
- Kanno R., Nakamura S., Kawamoto Y. Ionic conductivity of tetragonal $PbSnF_4$ substituted by aliovalent cations Zr^{4+} , Al^{3+} , Ga^{3+} , In^{3+} and Na^+ . *Solid State Ionics*, 1992, vol. 51, pp. 53-59.
- Pogorenko Yu.V., Pshenichnyi R.N., Omel'chuk A.A., Trachevskii V.V. Electric conductivity of heterovalent substitution solid solutions of the $(1-x)PbF_2-xYF_3-SnF_2$ system. *Russian Journal of Electrochemistry*, 2016, vol. 52, pp. 374-384.
- Pogorenko Yu.V., Pshenichnyi R.N., Omel'chuk A.A., Trachevskii V.V. Syntez ta providni vlastivosti tverdykh rozhyniv $Pb_{1-x}Ln_xSnF_{4+x}$ ($Ln = La, Ce, Nd, Sm, Gd$) [Synthesis and conductive properties of solid solutions $Pb_{1-x}Ln_xSnF_{4+x}$ ($Ln = La, Ce, Nd, Sm, Gd$)]. *Ukrainian Chemistry Journal*, 2016, vol. 82, no. 11, pp. 33-43. (in Ukrainian).